

## 6 ANEXOS

### ANEXO 1

Resultados obtenidos de las determinaciones de sexo y estimaciones de edad, peso, altura características patológicas y probable patología de los individuos tardorromanos en el estudio de la población de Soto de Tovilla (Valladolid).

Individuos	Sexo	Edad	Peso	Altura	Patologías propables	Probable etiología	Variantes anatómicas
109	Alofiso	0-3	—	—	Hiperostosis porótica y criba orbitaria	Déficit metabólico	—
111	Alofiso	>45	—	—	No observada	—	—
132	Varón	>45	56,89	1,62	No observada	—	—
173	Alofiso	0-3	—	—	No observada	—	—
174	Alofiso	25-35	—	—	No observada	—	—
175	Alofiso	Indeterminado	—	—	No observada	—	—
176	Alofiso	0-3	—	—	Huesos blanquecinos	Exposición a altas temperaturas	—
188	Alofiso	>45	—	1,68	Cambios entesiales en el cúbito	Sobreesfuerzo mecánico	—
202	Varón	25-35/>45*	67,45	1,62	Cambios entesiales en el calcáneo	Sobreesfuerzo mecánico	Sacralización de la 5ª vértebra lumbar
							Hiato del sacro en forma de V invertida
218	Varón	25-35	80,1	1,65	Cambios entesiales en la mandíbula	Sobreesfuerzo mecánico	Hiato del sacro en forma de U invertida
					Periostitis y miositis osificante	Microtraumatismo	
277	Mujer	25-35	59,69	1,56	Cambios entesiales en el calcáneo y en los huesos largos	Sobreesfuerzo mecánico	—
					Artrosis de rodilla	Factores ambientales y autoinmunes	
286	Mujer	25-35	—	—	No observada	—	—
303	Alofiso	Indeterminado	—	—	No observada	—	—
307	Alofiso	Indeterminado	—	—	No observada	—	—
310	Alofiso	Indeterminado	—	—	No observada	—	—
311	Alofiso	13-16	—	—	Huesos blanquecinos	Exposición a altas temperaturas	—
312	Mujer	35-45/ >45*	62,81	—	Nódulos de schmörl en vértebras dorsales, osteofitos vertebrales, y osteolisis generalizada	Proceso infeccioso	Síndrome de Klippel Feil
					Artrosis cervical	Factores ambientales y autoinmunes	
315	Alofiso	Indeterminado	—	—	No observada	—	—
318	Alofiso	13-16	—	—	No observada	—	—
321	Varón	35-45	—	1,65	Cambios entesiales en el calcáneo y en los huesos largos	Sobreesfuerzo mecánico	Sacralización de la 5ª vértebra lumbar
							Hiato del sacro en forma de V invertida
322	Varón	25-35	—	—	No observada	—	—
323	Mujer	35-45	—	1,58	Callo de fractura	Traumatismo	—
					Nódulos de Schmörl	Desgaste del disco intervertebral	
					Osteofitos en las vértebras dorsales	Factores ambientales y autoinmunes	
324	Alofiso	0-3	—	—	Hiperostosis porótica y criba orbitaria	Déficit metabólico	—
1108	Mujer	25-35	60,15	1,55	Osteofitos vertebrales	Factores ambientales y autoinmunes	—
					Nódulos de Schmörl en vértebras lumbares y dorsales	Desgaste del disco intervertebral	

\*Dos posibilidades de edad de muerte del individuo siendo la primera determinada por los dientes por AlQhatani et al. 2010 en inmaduros y Brothwell, 1987 en adultos, siendo la segunda la edad determinada por los huesos usando el software Transition Analysis 3.

## ANEXO 2

Diferentes alteraciones dentales presentes en los individuos tardorromanos de la población de Soto de Tovilla (Valladolid).

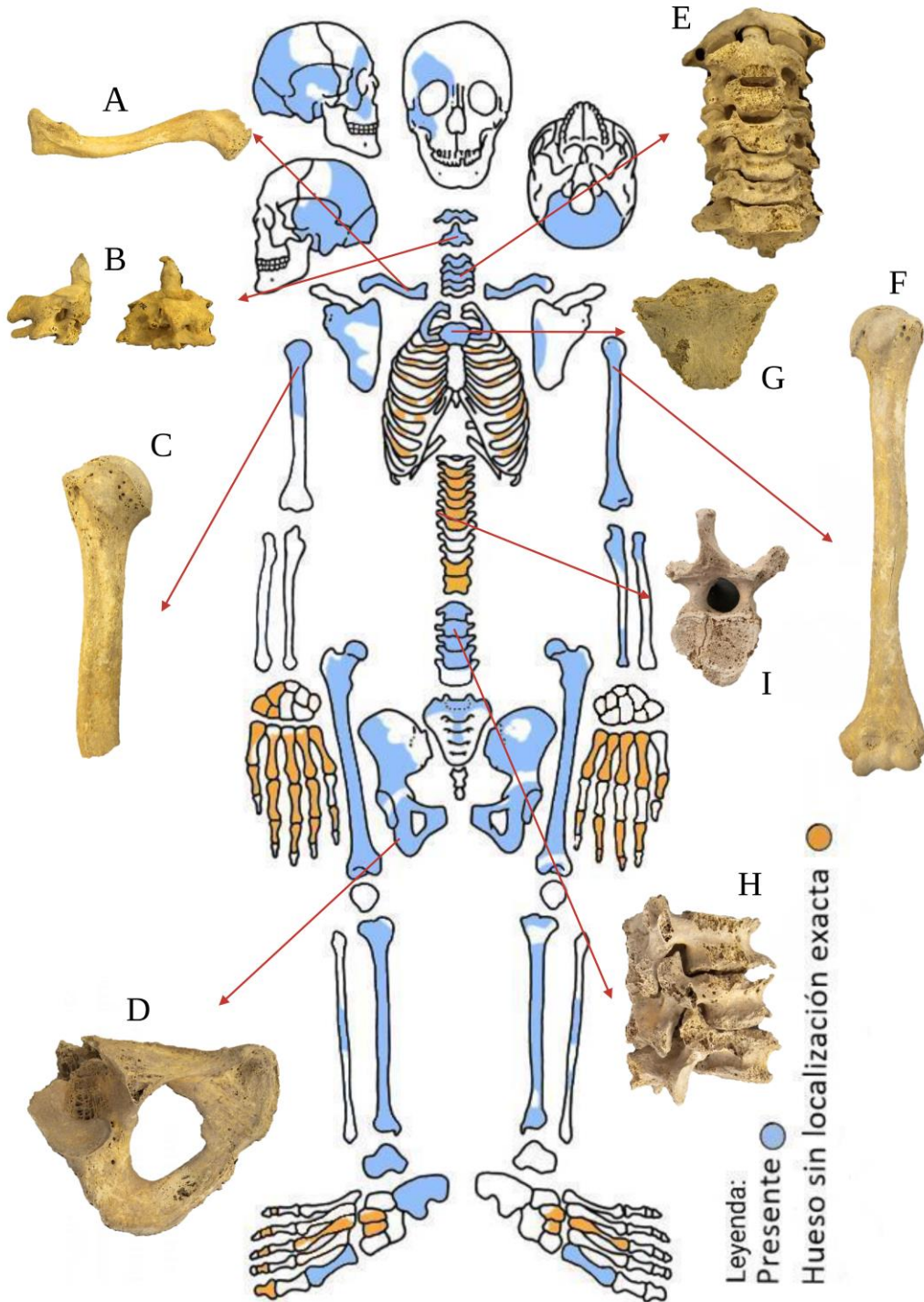
Individuos	Sexo	Edad	Alteraciones dentales						Otras	
			Caries			Cálculo dental		Desgaste		
			Diente afectado	Localización	Intensidad	Diente afectado	Intensidad	Diente afectado		Grado de exposición de dentina
132	Varón	>45	M <sub>3D</sub>	O	2	I <sub>1D</sub>	1	Mandíbula		—
			M <sup>2D</sup>	INTP	3	I <sub>1I</sub>	1	Anteriro drch.	5	
			M <sup>1D</sup>	INTP	3	—	—	Anterior izq.	4,25	
			—	—	—	—	—	Post canina drch.	0	
			—	—	—	—	—	Post canina izq.	8,5	
			Maxilar		—	—	—	—	—	
			—	—	—	—	—	Anteriro drch.	5	
			—	—	—	—	—	Anterior izq.	5	
			—	—	—	—	—	Post canina drch.	4,5	
—	—	—	—	—	Post canina izq.	4,9				
218	Varón	25-35	—	—	—	P <sub>2D</sub>	1	Mandíbula		Periodontitis
			—	—	—	P <sub>1D</sub>	1	Anteriro drch.	4,6	
			—	—	—	C <sub>D</sub>	1	Anterior izq.	5	
			—	—	—	I <sub>2D</sub>	1	Post canina drch.	4,5	
			—	—	—	I <sub>1D</sub>	1	Post canina izq.	4	
			Maxilar		—	—	—	—	—	
			—	—	—	P <sub>1I</sub>	1	Anteriro drch.	5,5	
			—	—	—	C <sub>I</sub>	1	Anterior izq.	5,3	
			—	—	—	I <sub>2I</sub>	1	Post canina drch.	5	
			—	—	—	I <sub>1I</sub>	1	Post canina izq.	3,3	
			—	—	—	—	—	—	—	
			—	—	—	—	—	—	—	
			—	—	—	—	—	—	—	
277	Mujer	25-35	M <sub>2I</sub>	INTP	3	C <sub>D</sub>	2	Mandíbula		Amontonamiento
			M <sub>1I</sub>	INTP	3	I <sub>2D</sub>	2	Anteriro drch.	6,6	
			M <sub>1I</sub>	LAC	3	I <sub>1D</sub>	2	Anterior izq.	6	
			M <sub>1D</sub>	O	2	P <sub>2I</sub>	1	Post canina drch.	4,7	
			—	—	—	P <sub>1I</sub>	1	Post canina izq.	5,75	
			—	—	—	C <sub>I</sub>	1	—	—	
			—	—	—	—	—	—	—	
286	Mujer	25-35	M <sub>1D</sub>	INTP	2	M <sub>1D</sub>	1	Mandíbula		—
			P <sub>2D</sub>	INTP	2	P <sub>1D</sub>	1	Anteriro drch.	6	
			P <sub>1D</sub>	LAC	1	I <sub>2D</sub>	1	Anterior izq.	4,25	
			I <sub>1D</sub>	LAC	2	C <sub>D</sub>	1	Post canina drch.	4,8	
			—	—	—	—	—	Post canina izq.	6	
			—	—	—	—	—	—	—	
312	Mujer	35-45/ >45*	M <sup>2D</sup>	R	3	—	—	Mandíbula		—
			M <sup>2D</sup>	LAC	3	—	—	Anteriro drch.	7	
			—	—	—	—	—	Anterior izq.	5,5	
			—	—	—	—	—	Post canina drch.	7,2	
			—	—	—	—	—	Post canina izq.	—	

			Alteraciones dentales							
Individuos	Sexo	Edad	Caries			Cálculo dental		Desgaste		Otras
			Diente afectado	Localización	Intensidad	Diente afectado	Intensidad	Diente afectado	Grado de exposición de dentina	
318	Alofiso	13-16	—	—	—	—	—	<b>Mandíbula</b>		—
			—	—	—	—	—	Anterioro drch.	—	
			—	—	—	—	—	Anterior izq.	—	
			—	—	—	—	—	Post canina drch.	2,5	
			—	—	—	—	—	Post canina izq.	1,2	
321	Varón	35-45	M <sub>2D</sub>	O	2	—	—	<b>Mandíbula</b>		—
			M <sup>3D</sup>	O	4	—	—	Anterioro drch.	8	
			M <sup>2D</sup>	O	2	—	—	Anterior izq.	8	
			P <sup>1D</sup>	O	4	—	—	Post canina drch.	7,75	
			C <sup>I</sup>	LAC	1	—	—	Post canina izq.	8	
			—	—	—	—	—	<b>Maxilar</b>		
			—	—	—	—	—	Anterioro drch.	9	
			—	—	—	—	—	Anterior izq.	7	
			—	—	—	—	—	Post canina drch.	6,25	
—	—	—	—	—	Post canina izq.	1				
322	Varón	25-35	M <sub>2D</sub>	O	1	—	—	<b>Mandíbula</b>		Amontonamiento
			M <sub>1I</sub>	INT	1	—	—	Anterioro drch.	5	
			—	—	—	—	—	Anterior izq.	5	
			—	—	—	—	—	Post canina drch.	5	
			—	—	—	—	—	Post canina izq.	6	
			—	—	—	—	—	<b>Maxilar</b>		
			—	—	—	—	—	Anterioro drch.	6	
			—	—	—	—	—	Anterior izq.	7	
			—	—	—	—	—	Post canina drch.	4	
—	—	—	—	—	Post canina izq.	4				
323	Mujer	35-45	M <sub>3D</sub>	O	1	P <sup>2D</sup>	3	<b>Mandíbula</b>		Periodontitis
			—	—	—	—	—	Anterioro drch.	6	
			—	—	—	—	—	Anterior izq.	6	
			—	—	—	P <sup>1D</sup>	3	Post canina drch.	8	
			—	—	—	C <sub>D</sub>	2	Post canina izq.	8,6	
			—	—	—	I <sub>2D</sub>	2	<b>Maxilar</b>		
			—	—	—	I <sub>1D</sub>	2	Anterioro drch.	5	
			—	—	—	C <sub>I</sub>	3	Anterior izq.	7	
			—	—	—	I <sub>2I</sub>	2	Post canina drch.	5,6	
			—	—	—	I <sub>1I</sub>	2	Post canina izq.	7	
			—	—	—	M <sub>1I</sub>	2	—	—	
			—	—	—	M <sup>2D</sup>	1	—	—	
			—	—	—	I <sup>2D</sup>	2	—	—	
			—	—	—	I <sup>1D</sup>	2	—	—	
—	—	—	I <sup>II</sup>	1	—	—				
1108	Mujer	17-25/ >45*	M <sub>2I</sub>	INT	3	M <sub>1D</sub>	3	<b>Mandíbula</b>		Periodontitis
			M <sup>1D</sup>	INT	3	I <sub>2I</sub>	2	Anterioro drch.	5	
			M <sup>II</sup>	LAC	2	C <sup>I</sup>	1	Anterior izq.	5	
			—	—	—	I <sup>2D</sup>	3	Post canina drch.	2,5	
			—	—	—	—	—	Post canina izq.	—	
			—	—	—	—	—	<b>Maxilar</b>		
			—	—	—	—	—	Anterioro drch.	5	
			—	—	—	—	—	Anterior izq.	6	
			—	—	—	—	—	Post canina drch.	—	
—	—	—	—	—	Post canina izq.	—				

ANEXO 3

Ficha del individuo 312 donde se observan los retos óseos afectados por la osteólisis del proceso de infección (A,C,D,F,G,), síndrome de Klippel-Feil (B) y artrosis cervical (E).

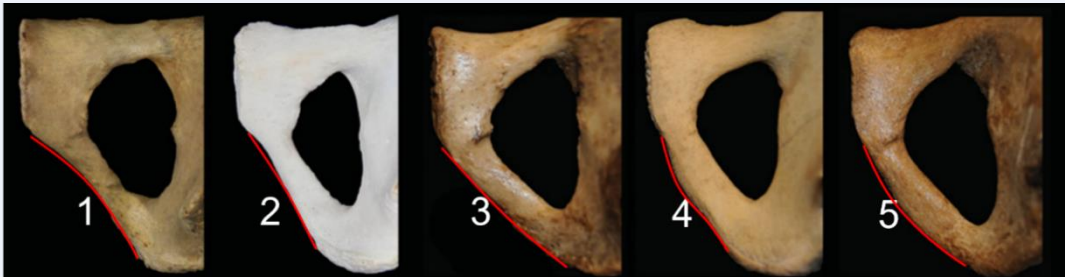
Yacimiento	Soto de Tovilla	U.E	
N° de enterramiento	312	N° de sigla	



## ANEXO 4

Anexo 4- Tabla A. Estimación del sexo. Rasgos físicos analizados siguiendo el método de Klales *et al.* (2012).

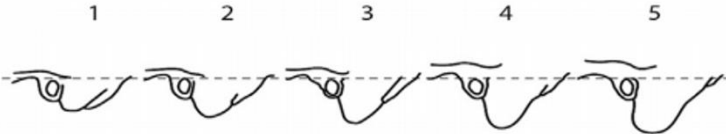
Arco ventral (VA)
<p>El arco ventral se encuentra en la parte ventral del pubis y desciende a través de la rama subpúbica. Este es un sobresaliente óseo que produce el alargamiento del pubis femenino siendo así el mejor indicador sexual, estando presente siempre en mujeres y ausente en varones (Klales <i>et al.</i>, 2012; Serrula, 2013). Se valoraron cinco tipos de morfologías distintas, tal como se indica en la. El origen de la presencia o ausencia del arco ventral comienza en la pubertad, ya que los cambios hormonales producen el alargamiento del pubis femenino y su relación con la posición de los músculos gracilis y aductores mayor y menor (Anderson, 1990)</p>

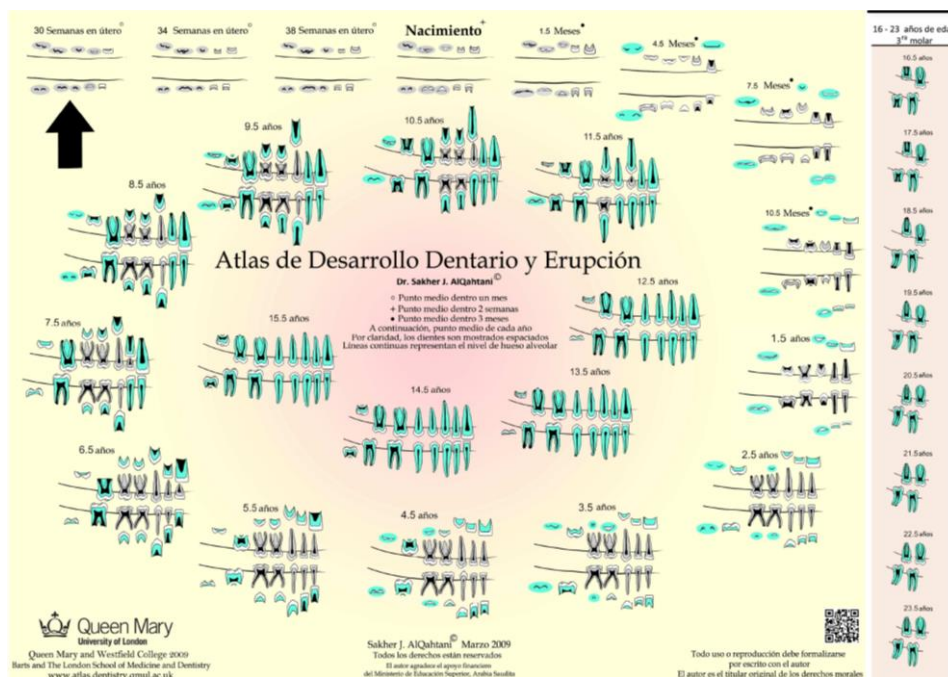
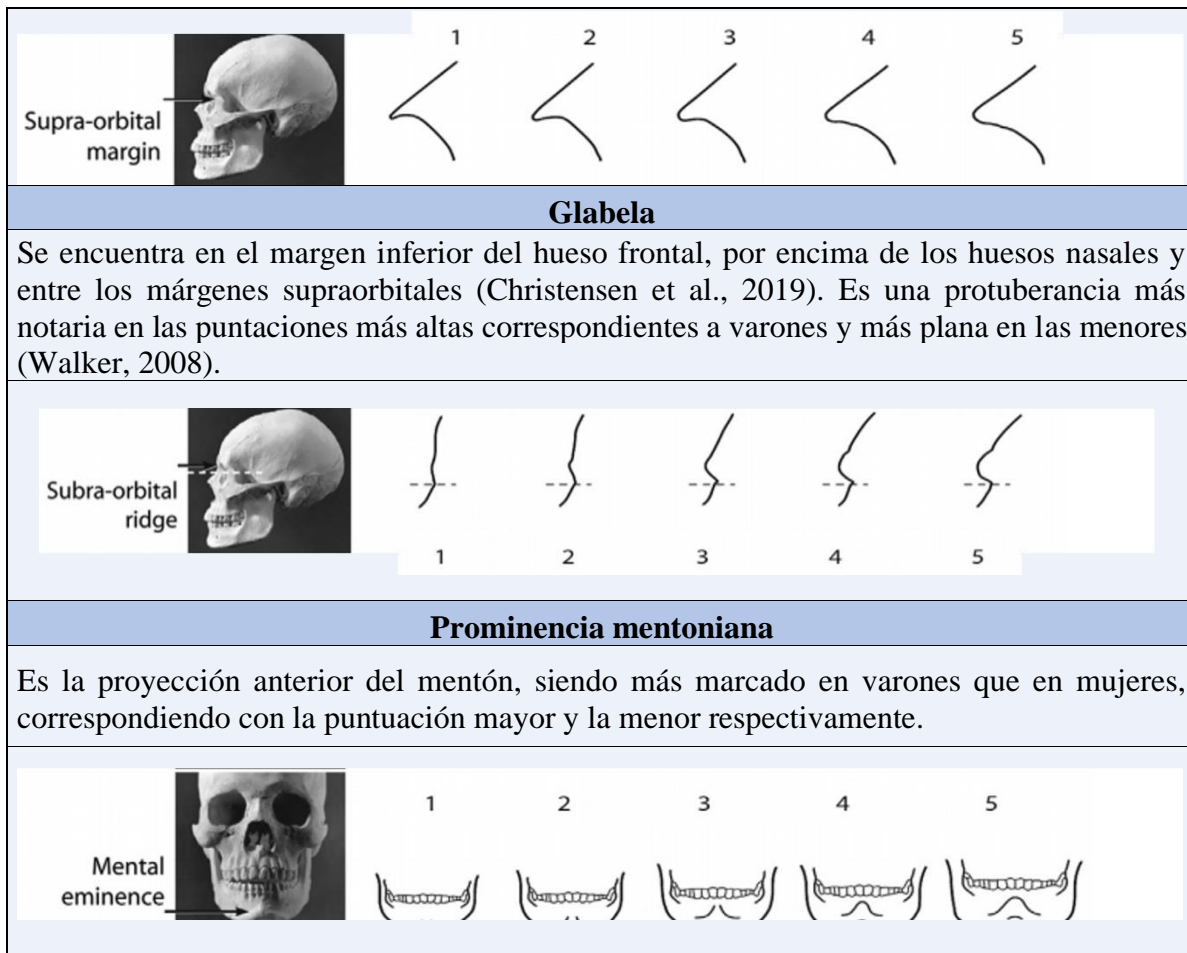
Contorno subpúbico (SPC)
<p>Según Klales <i>et al.</i>, (2012) se consideran 5 tipos de contorno distintos. En su valor más bajo (1), el contorno presenta una curvatura cóncava bien desarrollada localizada en la rama isquio-púbica por debajo del margen inferior de la sínfisis púbica observada en mujeres, hasta llegar a una curvatura convexa, que se corresponde con las puntuaciones mayores (4,5), observada en varones, correspondiendo los valores intermedios (2 y 3) a un contorno subpúbico sin curvatura, casi recto. Esta diferencia sexual se debe a los distintos tipos de desarrollo durante la pubertad en cada uno de los sexos, presentando las mujeres mayor desarrollo de la región del pubis y un ángulo subpúbico más obtuso (mayor salida pélvica) teniendo estas diferencias de dimorfismo sexual relación con el parto (Klales <i>et al.</i>, 2012).</p>

Aspecto medial de la rama isquio-púbica (MA)
<p>Es el rasgo más ambiguo para realizar la determinación del sexo a partir del pubis. Las puntuaciones menores (1,2) representan una superficie más estrecha y alargada debajo de la superficie de la sínfisis púbica, siendo frecuente en mujeres, y las puntuaciones mayores (4,5) se corresponde con una superficie más ancha, estando relacionada con varones. Este</p>

desarrollo diferente puede estar relacionado como en los casos anteriores con el distinto desarrollo durante la pubertad, pero esta hipótesis sigue en estudio (Klales et al., 2012).



**Anexo 4- Tabla B.** Estimación del sexo. Rasgos craneales utilizados por Walker (2008).

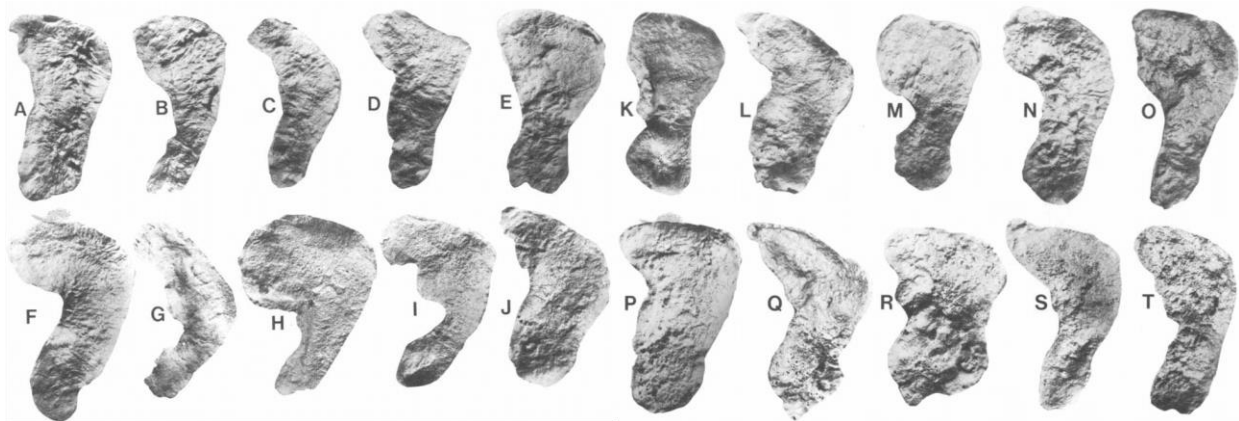
<b>Cresta nuchal</b>	
<p>Protuberancia existente en la superficie occipital, siendo más protuberante en las puntuaciones mayores, relacionadas con la masculinidad y viceversa. Esta protuberancia es debida a la unión de los músculos nuchales los cuales producen el desarrollo de la cresta nuchal (Walker, 2008).</p>	
 <p>Nuchal crest</p>	
<b>Apófisis mastoides</b>	
<p>Se tiene en cuenta la longitud y el volumen de esta, en comparación con el meato auditivo externo y la apófisis cigomática siendo más relevante el volumen (Walker, 2008). Las diferencias sexuales se deben a la complejidad del desarrollo craneofacial, teniendo los varones un desarrollo más largo y tardío (Rogers y Thesis, 1991), por lo que la apófisis tiene un crecimiento más prolongado y mayor (Humphrey, 1998).</p>	
 <p>Mastoid process</p>	
<b>Margen supraorbital (borde orbital superior)</b>	
<p>Este borde es más fino y saliente en las puntuaciones menores y más grueso y romo en puntuaciones mayores (Walker, 2008).</p>	



**ANEXO 4- Figura A.** Atlas del desarrollo y erupción de los dientes humanos en el rango de edad de 30 semanas en el útero y quince años y medio, siendo las figuras en gris dientes deciduos y en verde dientes permanentes (AlQhatani et al. 2010)

Age range (years)	About 17–25			25–35			33–45			About 45 +		
Molar number	M <sup>1</sup> , M <sub>1</sub>	M <sup>2</sup> , M <sub>2</sub>	M <sup>3</sup> , M <sub>3</sub>	M <sup>1</sup> , M <sub>1</sub>	M <sup>2</sup> , M <sub>2</sub>	M <sup>3</sup> , M <sub>3</sub>	M <sup>1</sup> , M <sub>1</sub>	M <sup>2</sup> , M <sub>2</sub>	M <sup>3</sup> , M <sub>3</sub>	M <sup>1</sup> , M <sub>1</sub>	M <sup>2</sup> , M <sub>2</sub>	M <sup>3</sup> , M <sub>3</sub>
Wear pattern			Dentin not exposed. There may be slight enamel polishing.							Any greater degree of wear than in the previous columns NB: Very unusual wear sometimes occurs in the later stages 		
	(1)	(2)	(2+)	(3)	(3+)	(4)	(4+)	(5)	(5+)	(5++)	(6)	(7)
			(3 -)						Unequal wear		Down to the neck	Roots only

ANEXO 4- Figura B. Clasificación en rangos de edad según el desgaste dental (Brothwell, 1987).



ANEXO 4- Figura C. Cambios en la superficie auricular del ilion con el paso de los años. Rangos de 4 años a partir de los 20 años hasta más de 60 siendo la tercera y cuarta década las imágenes de la A, a la J y la quinta y sexta décadas en adelante de la K, a la T (Lovejoy et al., 1985).

ANEXO 4- Tabla C. Grados de intensidad de las caries (Gómez González, 2013).

<b>Grado 0</b>	Ausencia total de caries en corona y/o raíz
<b>Grado 1</b>	Pequeña lesión cariosa en el esmalte y/o raíz, en forma de punto, estría o ranura
<b>Grado 2</b>	Aumento de la mancha anterior, ocupando menos de la mitad de la zona invadida (zona oclusal, mesial/distal y/o vestibular/lingual en corona y/o raíz). En ocasiones, se aprecia el comienzo de la formación de una pequeña cavidad hacia el interior del diente.
<b>Grado 3</b>	Dstrucción de la mitad o más de la zona afectada por la caries, acompañado, en ocasiones, por el aumento de la cavidad formada en el punto anterior.
<b>Grado 4</b>	La destrucción es tal que se aprecian los canales radiculares en el caso de caries en la corona y una destrucción completa del diente en el caso de caries radicular, quedando únicamente un vestigio de raíz

**ANEXO 4- Tabla D.** Grados de intensidad del cálculo dental (Gómez González, 2013).

<b>Grado 0</b>	Ausente
<b>Grado 1</b>	Depósito fino de cálculo, cuyo espesor es inferior a 2 mm, ocupando menos de 1/3 de la superficie del diente
<b>Grado 2</b>	Depósito con espesor mediano, cuando el cálculo ocupa entre 1/3 y 2/3 de la superficie del diente, con un espesor de unos 2 mm.
<b>Grado 3</b>	Depósito de gran espesor, mayor de 2 mm, que ocupa más de los 2/3 de la superficie.
<b>Grado 4</b>	Depósito de cálculo que ocupa prácticamente la totalidad del diente, rodeándolo completamente

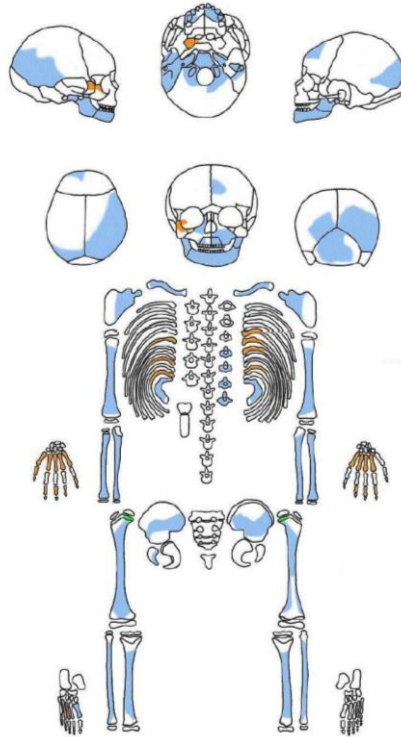
Maat	Costa	Scott	Molars	Premolars	Canine/Incisor
1	1	0	No Data	No Data	No Data.
		1	Unworn; wear facets minimal	Unworn; wear facets minimal.	Unworn; wear facets minimal.
2	2	2	Wear facets large but cusps still present, pin-prick dentine exposed.	Wear facets large but cusps still present.	Wear facets large but incisal edge still clear.
2.3		3	Cusps becoming obliterated rather than clearly defined.	Cusps rounded rather than clearly defined.	Incisal edge rounded rather than clearly defined.
2.6		4	Quadrant area flat - no dentine exposure other than pinpricks.	Cusp pattern flat-pinprick dentine exposures.	Incisal edge flat-pinprick dentine exposures.
3		5	Quadrant flat with dentine exposure on 1/4 of quad.	Cusp pattern flat, dentine exposed on c1/4 of cusp.	Edge flat, small dentine exposure.
3.3		6	Dentine exposure more than 1/4 of quadrant.	2+ dentine exposures, clearly separated.	Dentine exposure on 1/4+ of incisal surface.
4		7	Enamel on only 2 sides of quadrant.	2+ dentine exposures.	Dentine patch extensive.
4.3/ 5		8	Enamel on only one side of quadrant, but thick.	Enamel still around edge of tooth, thick.	Enamel around edge of tooth, thick.
5.3/ 5.6		9	Enamel very thin.	Enamel very thin.	Enamel very thin.
6 / 7	10	No enamel on quadrant.	No enamel on cusp.	No enamel on surface.	

Anexo 4- Figura D. Grados de exposición de dentina (Littleton y Frohlich, 1993).

## ANEXO 5

Restos óseos y dentarios de cada uno de los individuos estudiados

Yacimiento	Soto de Tovilla	U.E	
N° de yacimiento	109	N° de sigla	

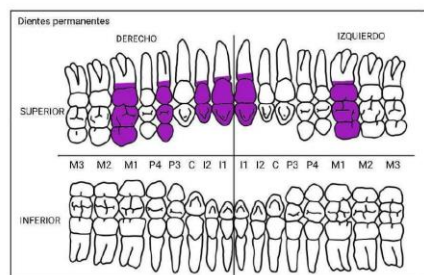
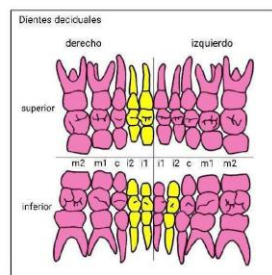


**Leyenda:**

Presente ●

Hueso sin localización exacta ●

Yacimiento	Soto de Tovilla	U.E	
N° de enterramiento	109	N° de sigla	



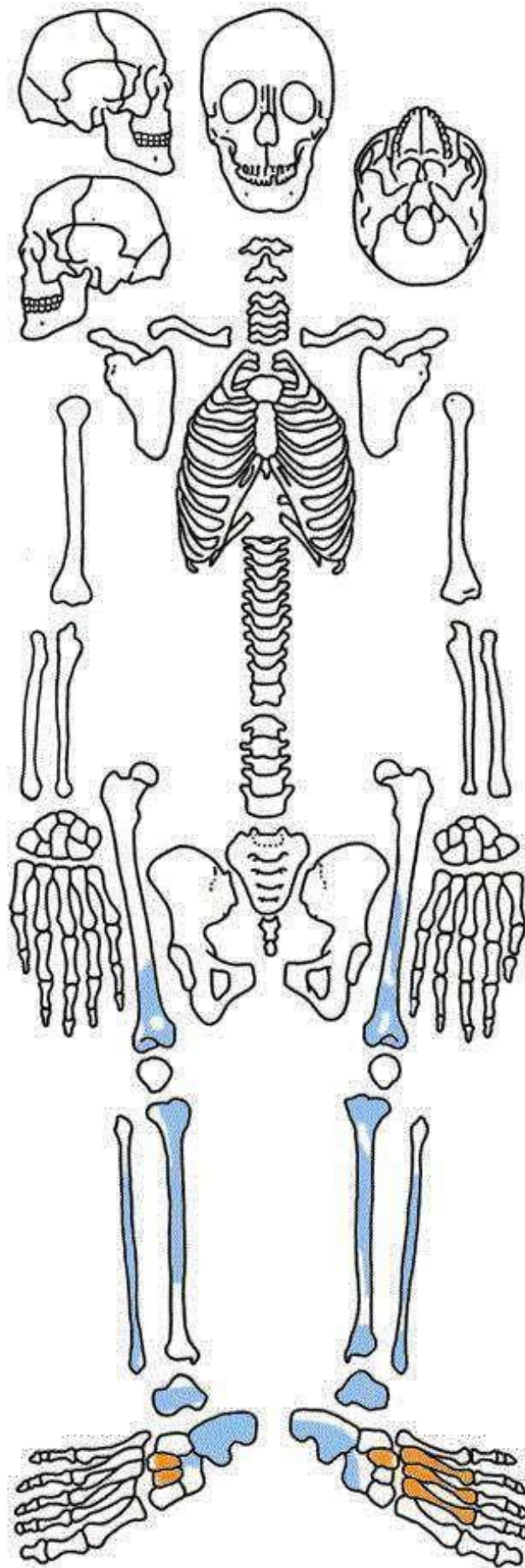
**Leyenda:**

● Presentes in situ

● Presentes ex situ

● Sin erupcionar

Yacimiento	Soto de Tovilla	U.E	
N° de enterramiento	111	N° de sigla	



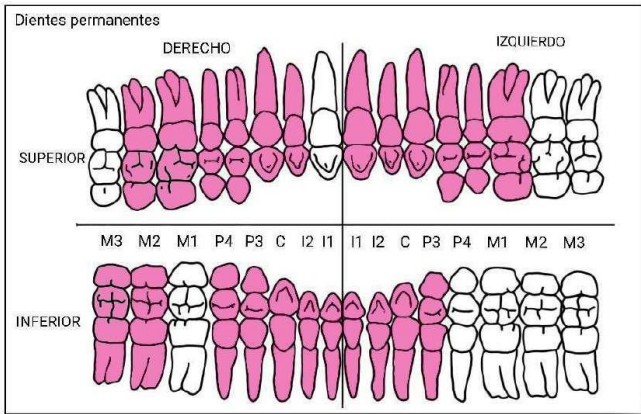
Leyenda:

● Presente

● Hueso sin localización exacta

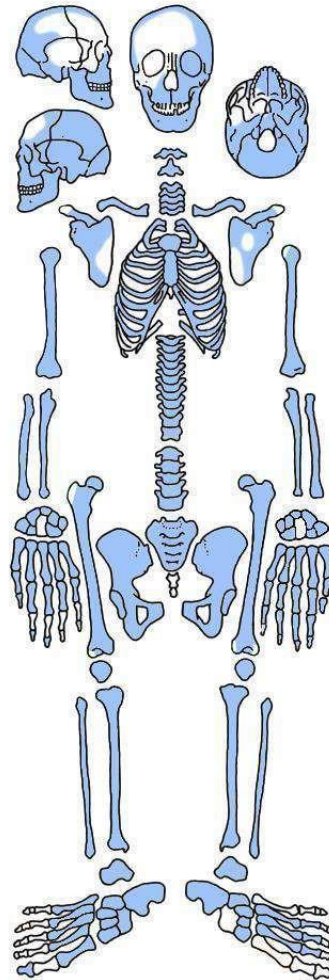
Yacimiento	Soto de Tovilla	U.E	
N° de enterramiento	132	N° de sigla	

Yacimiento	Soto de Tovilla	U.E	
N° de enterramiento	132	N° de sigla	



Leyenda:

- Presente in situ
- Presente ex situ



- Leyenda:
- Presente
  - Hueso sin localización exacta

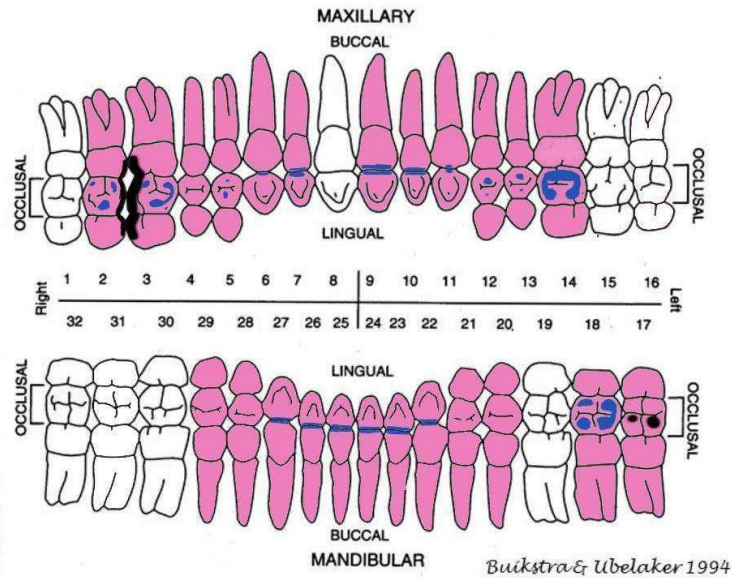
**DENTAL INVENTORY**  
**VISUAL RECORDING FORM: PERMANENT DENTITION**

Site Name/Number 132 / \_\_\_\_\_ Observer \_\_\_\_\_

Feature/Burial Number \_\_\_\_\_ / \_\_\_\_\_ Date \_\_\_\_\_

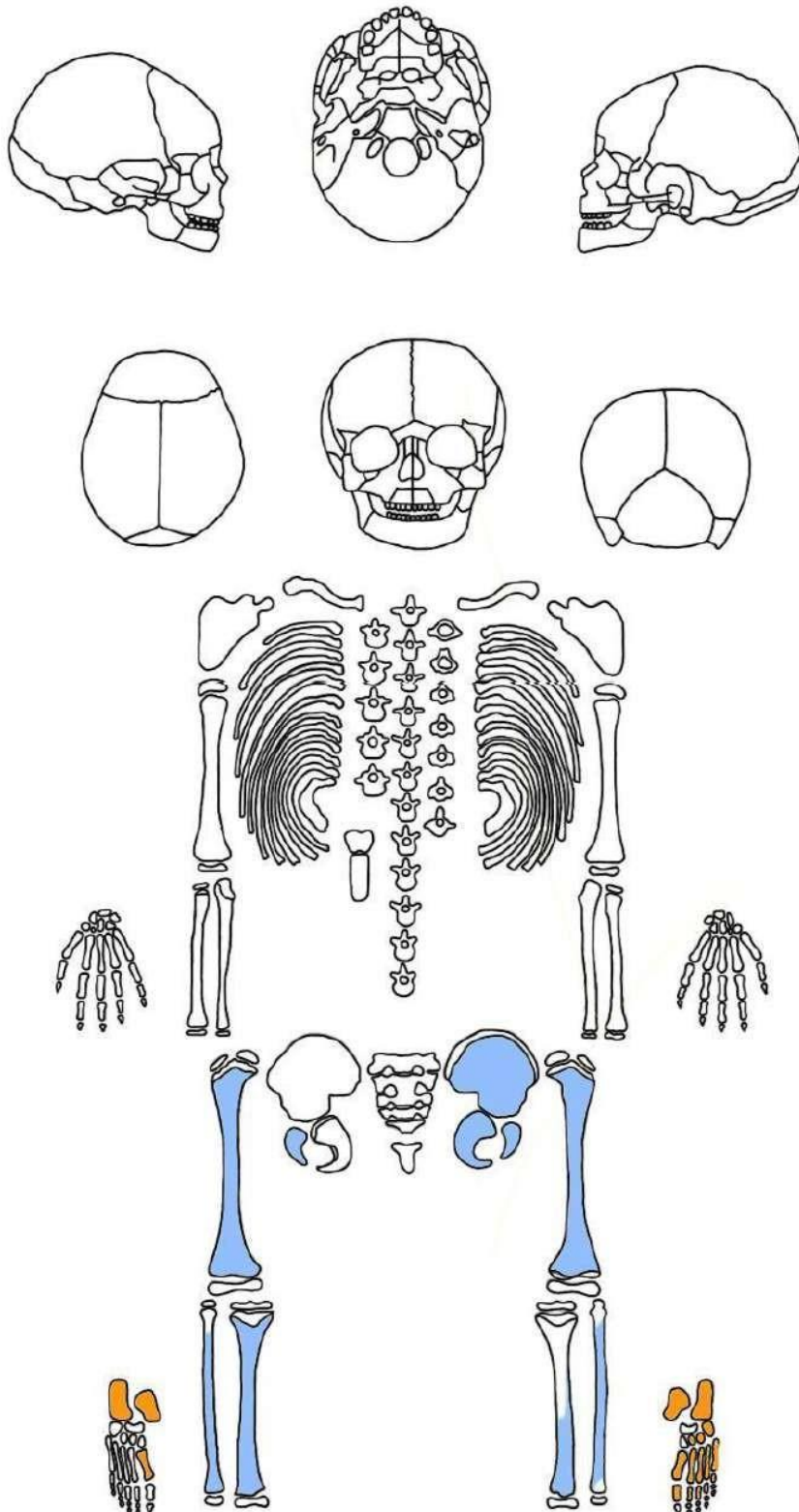
Burial/Skeleton Number \_\_\_\_\_ / \_\_\_\_\_

Present Location of Collection \_\_\_\_\_



- Presentes in situ
- Presentes ex situ
- Caries
- Desgaste

Yacimiento	Soto de Tovilla	U.E	
N° de yacimiento	173	N° de sigla	

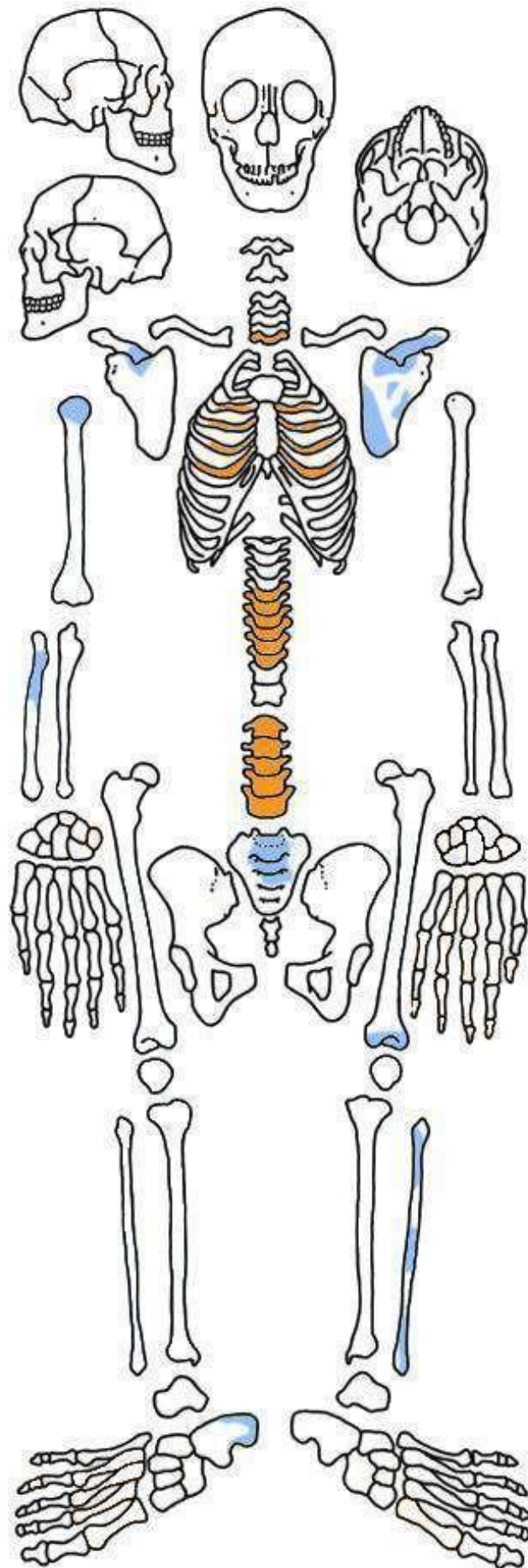


Leyenda:

Presente ●

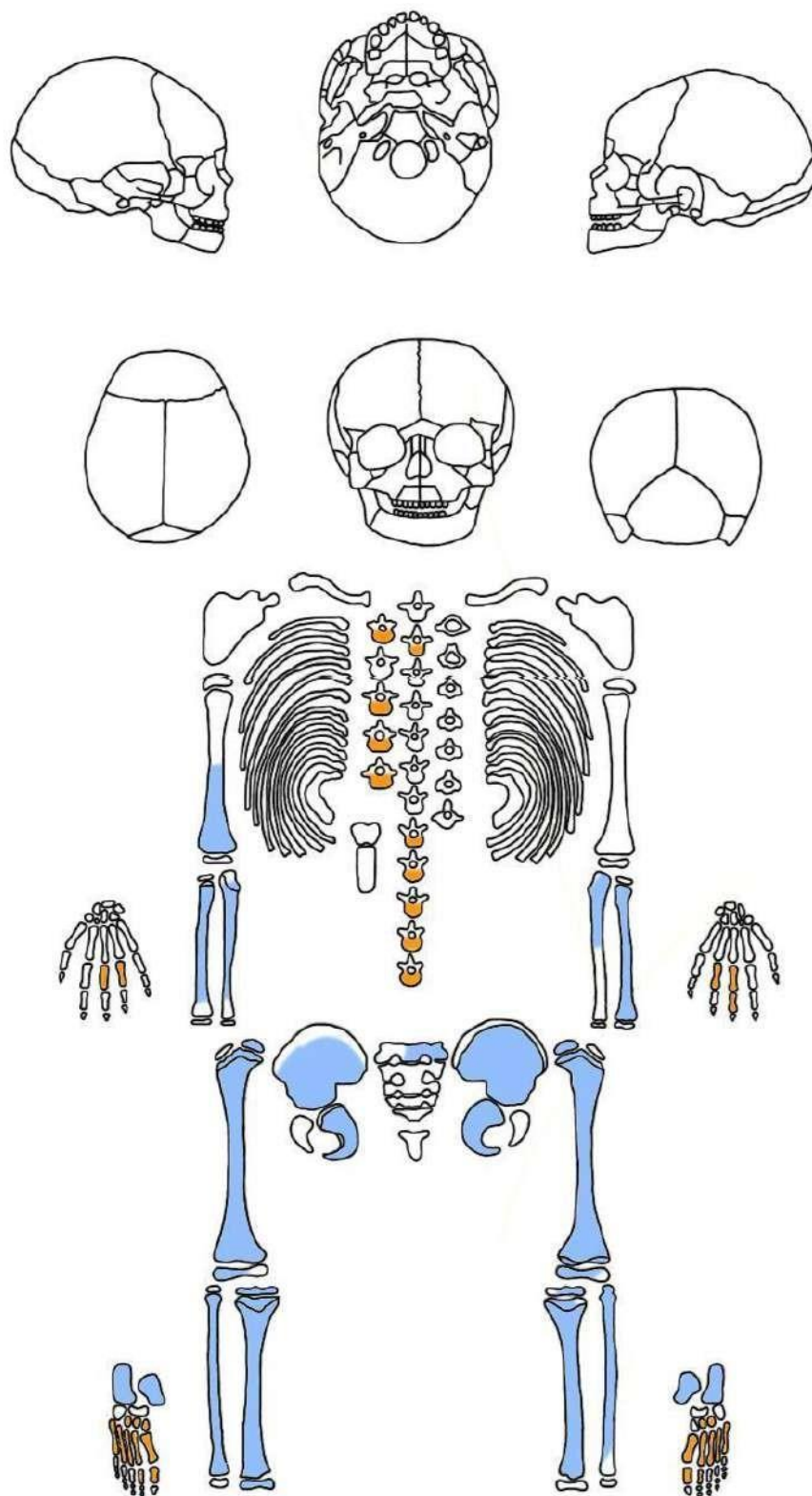
Hueso sin localización exacta ●

Yacimiento	Soto de Tovilla	U.E	
N° de enterramiento	174	N° de sigla	



Leyenda:  
 Presente ●  
 Hueso sin localización exacta ●

Yacimiento	Soto de Tovilla	U.E	
N° de yacimiento	176	N° de sigla	



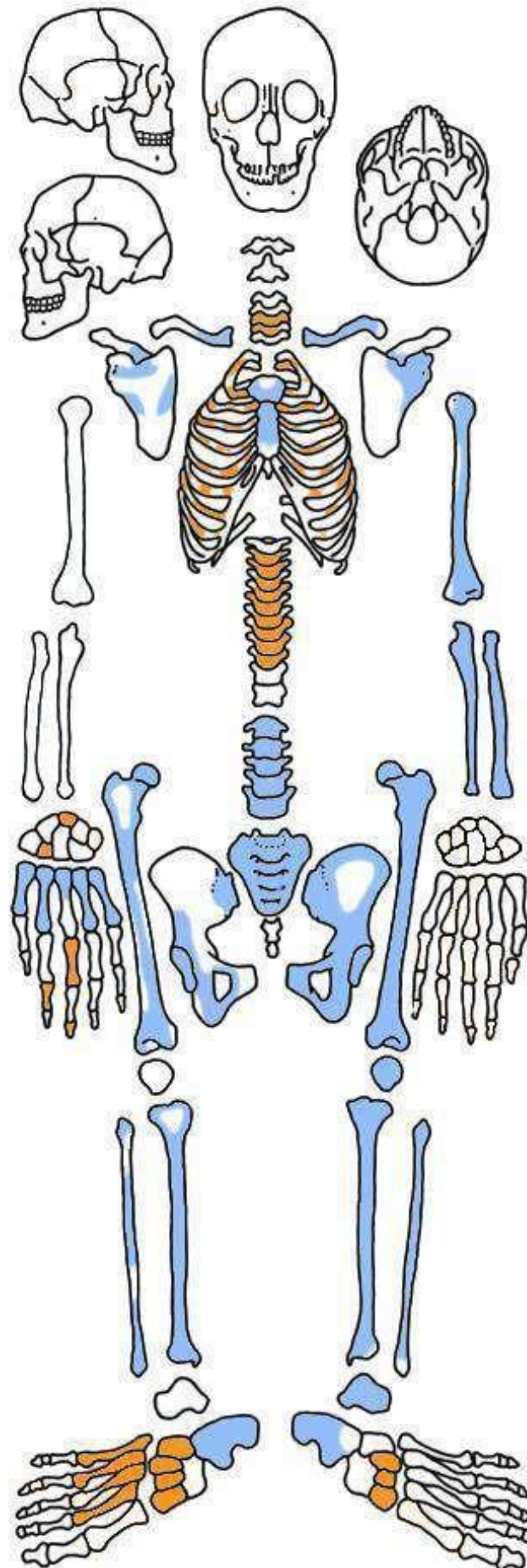
Leyenda:

Presente ●

Hueso sin localización exacta ●



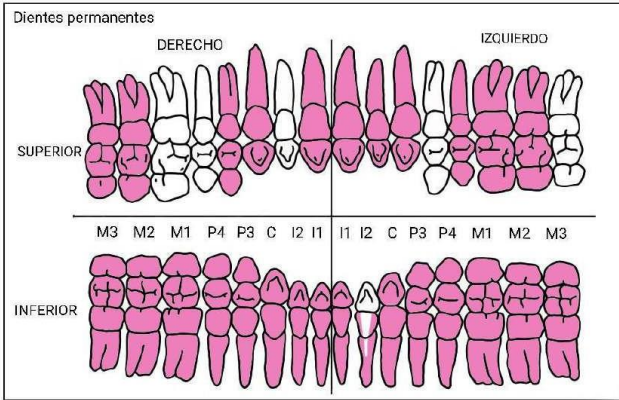
Yacimiento	Soto de Tovilla	U.E	
N° de enterramiento	202	N° de sigla	



Leyenda:  
 Presente ●  
 Hueso sin localización exacta ●

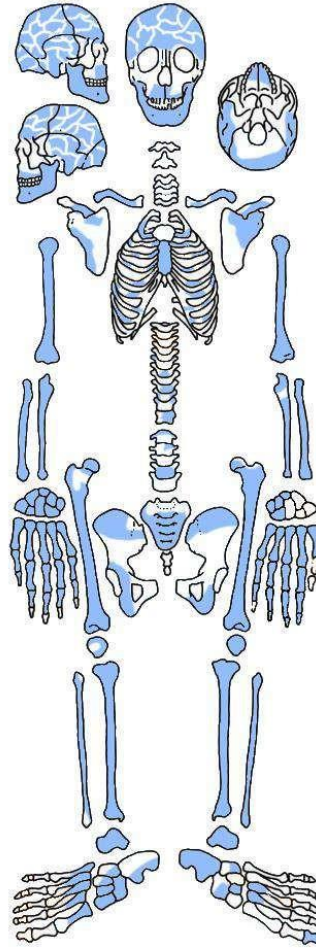
Yacimiento	Soto de Tovilla	U.E	
N° de enterramiento	218	N° de sigla	

Yacimiento	Soto de Tovilla	U.E	
N° de enterramiento	218	N° de sigla	



Leyenda:

- Presente in situ
- Presente ex situ



- Leyenda:
- Presente
  - Hueso sin localización exacta

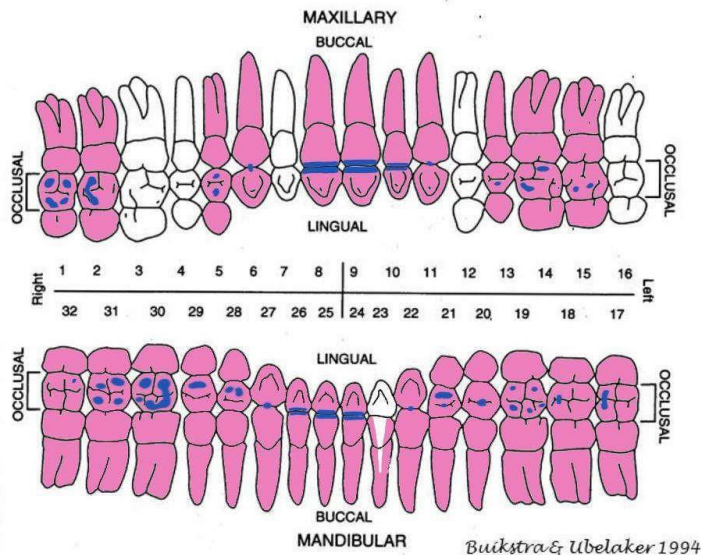
**DENTAL INVENTORY  
VISUAL RECORDING FORM: PERMANENT DENTITION**

Site Name/Number 218 / Observer \_\_\_\_\_

Feature/Burial Number \_\_\_\_\_ / Date \_\_\_\_\_

Burial/Skeleton Number \_\_\_\_\_

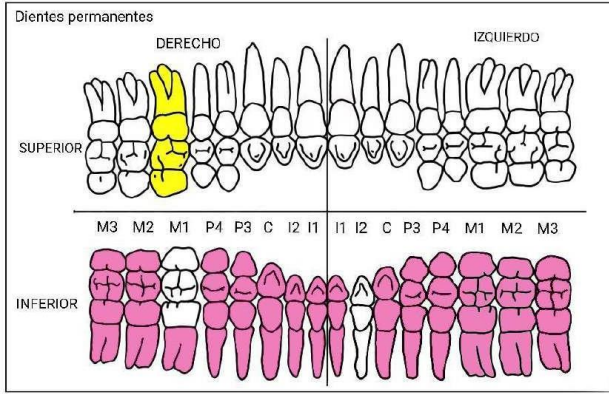
Present Location of Collection \_\_\_\_\_



- Presentes in situ
- Presentes ex situ
- Caries
- Desgaste

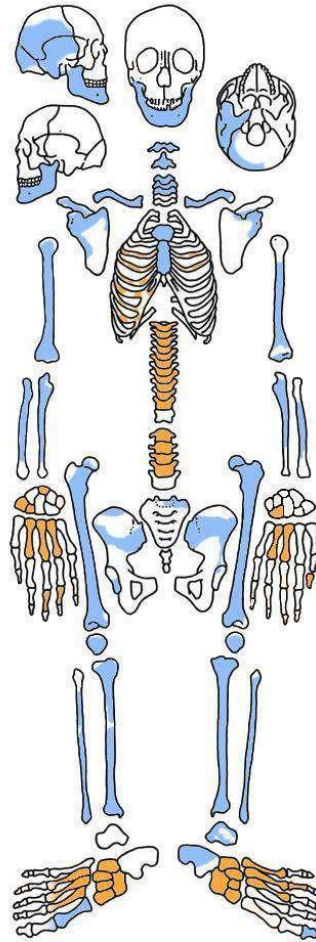
Yacimiento	Soto de Tovilla	U.E	
N° de enterramiento	277	N° de sigla	

Yacimiento	Soto de Tovilla	U.E	
N° de enterramiento	277	N° de sigla	



Leyenda:

- Presente in situ
- Presente ex situ



- Leyenda:
- Presente
  - Hueso sin localización exacta

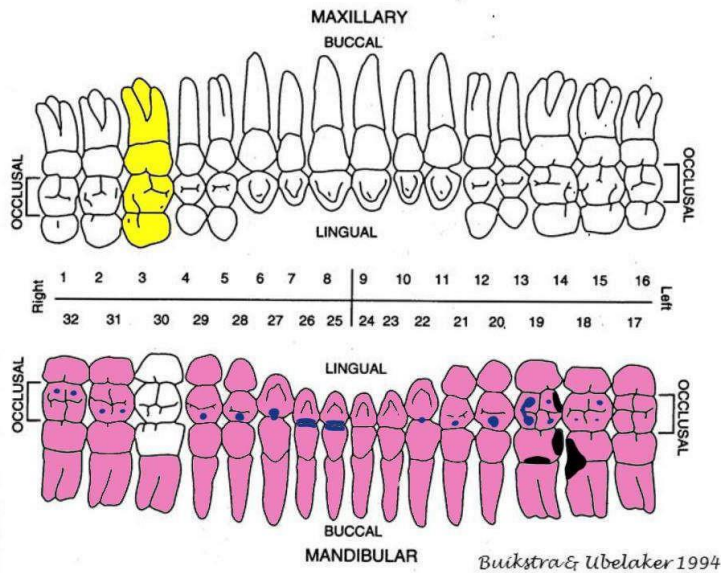
**DENTAL INVENTORY**  
**VISUAL RECORDING FORM: PERMANENT DENTITION**

Site Name/Number 277 / \_\_\_\_\_ Observer \_\_\_\_\_

Feature/Burial Number \_\_\_\_\_ / \_\_\_\_\_ Date \_\_\_\_\_

Burial/Skeleton Number \_\_\_\_\_ / \_\_\_\_\_

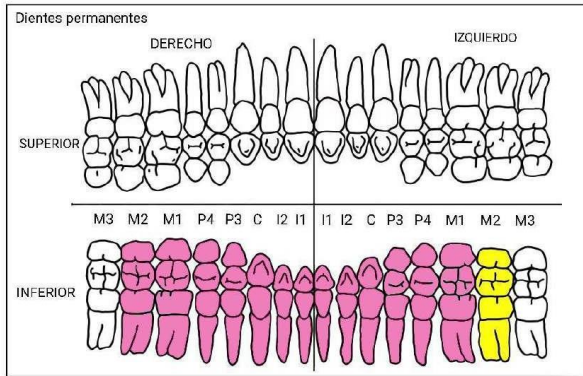
Present Location of Collection \_\_\_\_\_



- Presentes in situ
- Presentes ex situ
- Caries
- Desgaste

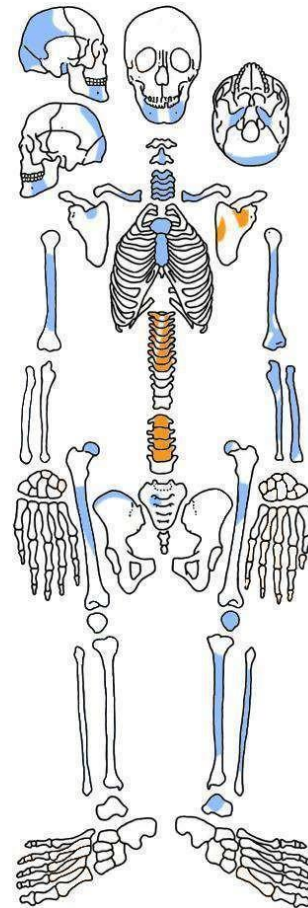
Yacimiento	Soto de Tovilla	U.E	
N° de enterramiento	286	N° de sigla	

Yacimiento	Soto de Tovilla	U.E	
N° de enterramiento	286	N° de sigla	



Leyenda:

- Presente in situ
- Presente ex situ



- Leyenda:
- Presente
  - Hueso sin localización exacta

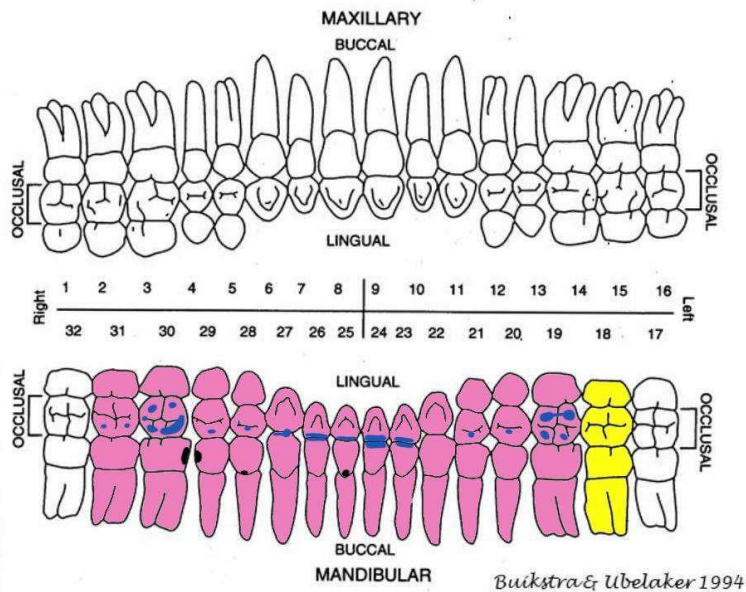
**DENTAL INVENTORY  
VISUAL RECORDING FORM: PERMANENT DENTITION**

Site Name/Number 286 / \_\_\_\_\_ Observer \_\_\_\_\_

Feature/Burial Number \_\_\_\_\_ / \_\_\_\_\_ Date \_\_\_\_\_

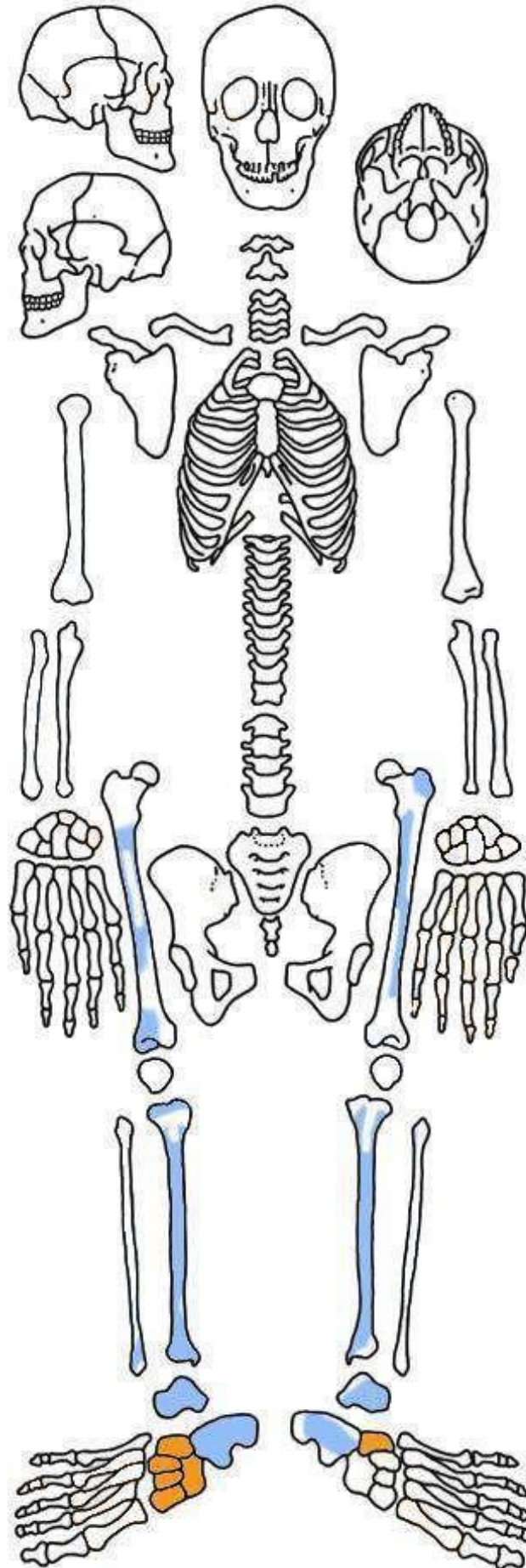
Burial/Skeleton Number \_\_\_\_\_ / \_\_\_\_\_

Present Location of Collection \_\_\_\_\_



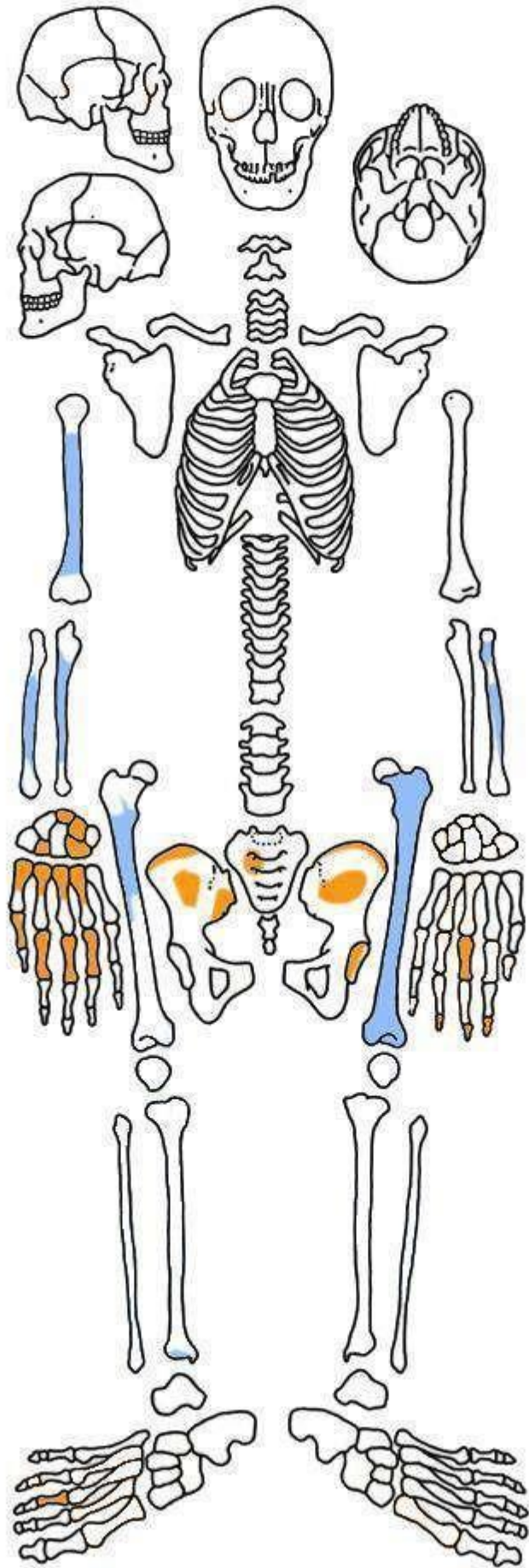
- Presentes in situ
- Presentes ex situ
- Caries
- Desgaste

Yacimiento	Soto de Tovilla	U.E	
N° de enterramiento	303	N° de sigla	



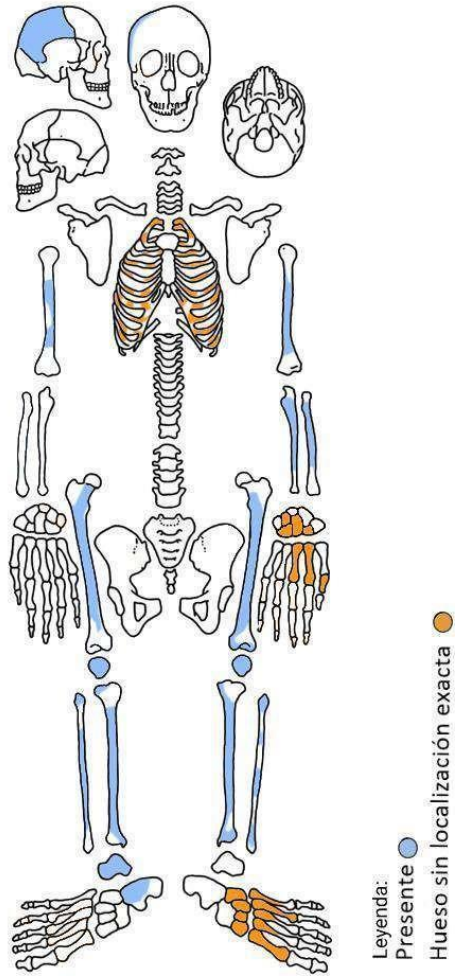
Leyenda:  
 Presente ●  
 Hueso sin localización exacta ●

Yacimiento	Soto de Tovilla	U.E	
N° de enterramiento	307	N° de sigla	

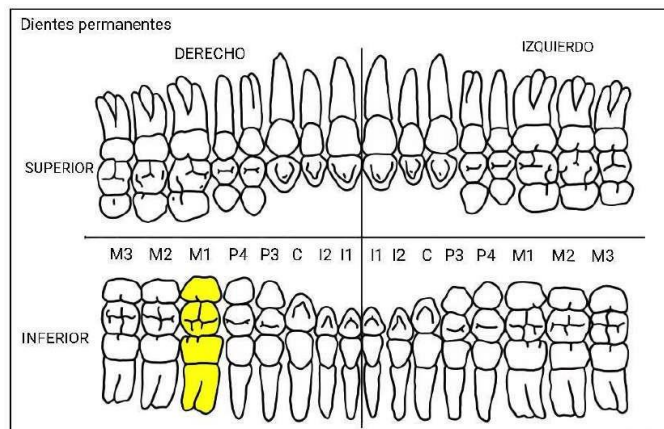


Leyenda:  
 Presente ●  
 Hueso sin localización exacta ●

Yacimiento	Soto de Tovilla	U.E	
N° de enterramiento	311	N° de sigla	



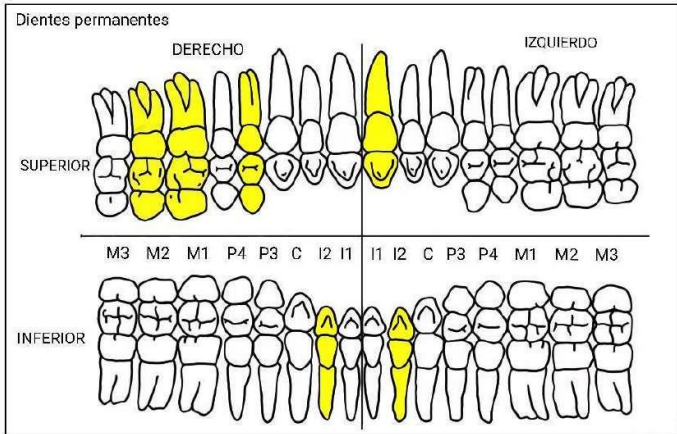
Yacimiento	Soto de Tovilla	U.E	
N° de enterramiento	311	N° de sigla	



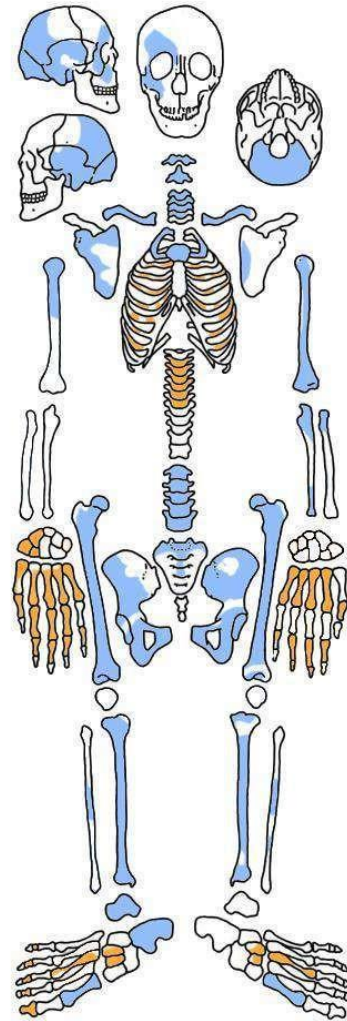
Leyenda:  
 ● Presente in situ  
 ● Presente ex situ

Yacimiento	Soto de Tovilla	U.E	
N° de enterramiento	312	N° de sigla	

Yacimiento	Soto de Tovilla	U.E	
N° de enterramiento	312	N° de sigla	



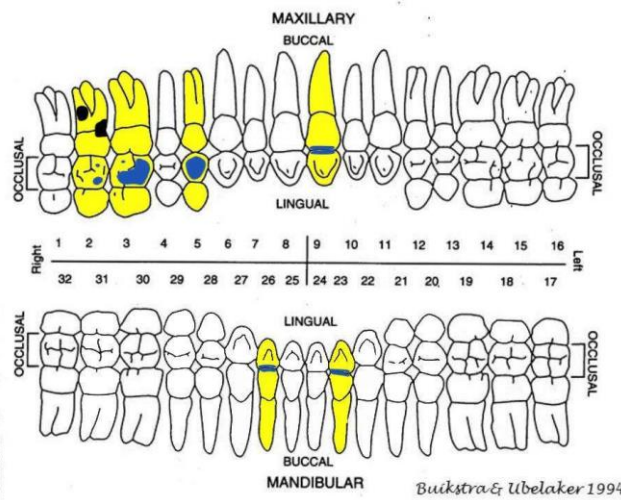
Leyenda:  
 ● Presente in situ  
 ● Presente ex situ



Leyenda:  
 ● Presente  
 ● Hueso sin localización exacta

**DENTAL INVENTORY  
 VISUAL RECORDING FORM: PERMANENT DENTITION**

Site Name/Number 312 / Observer \_\_\_\_\_  
 Feature/Burial Number \_\_\_\_\_ / Date \_\_\_\_\_  
 Burial/Skeleton Number \_\_\_\_\_  
 Present Location of Collection \_\_\_\_\_

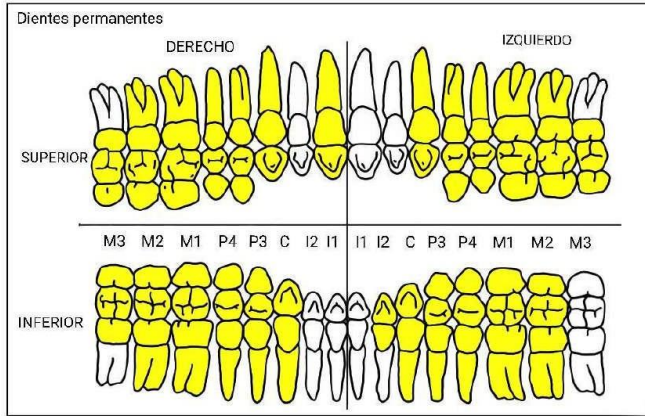


● Presentes in situ  
 ● Presentes ex situ  
 ● Caries  
 ● Desgaste

Buikstra & Ubelaker 1994

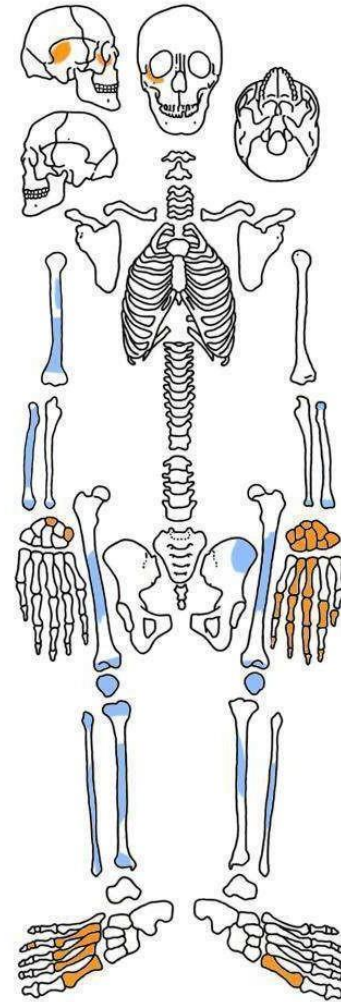
Yacimiento	Soto de Tovilla	U.E	
N° de enterramiento	318	N° de sigla	

Yacimiento	Soto de Tovilla	U.E	
N° de enterramiento	318	N° de sigla	



Leyenda:

- Presente in situ
- Presente ex situ



Leyenda:  
 ● Presente  
 ● Hueso sin localización exacta

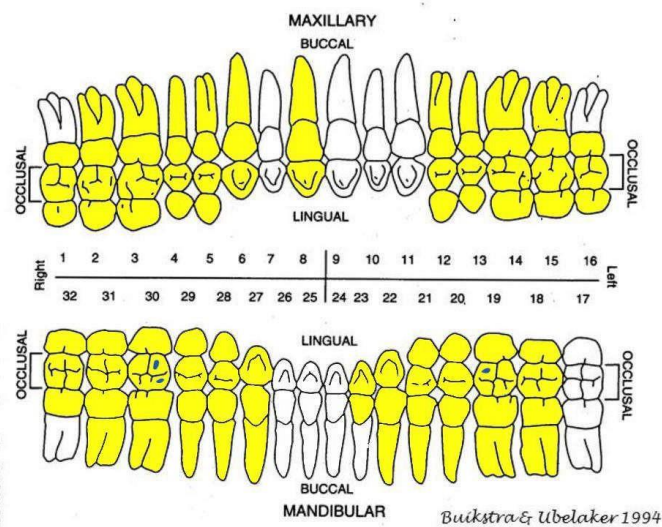
**DENTAL INVENTORY  
 VISUAL RECORDING FORM: PERMANENT DENTITION**

Site Name/Number 318 / Observer \_\_\_\_\_

Feature/Burial Number \_\_\_\_\_ / Date \_\_\_\_\_

Burial/Skeleton Number \_\_\_\_\_

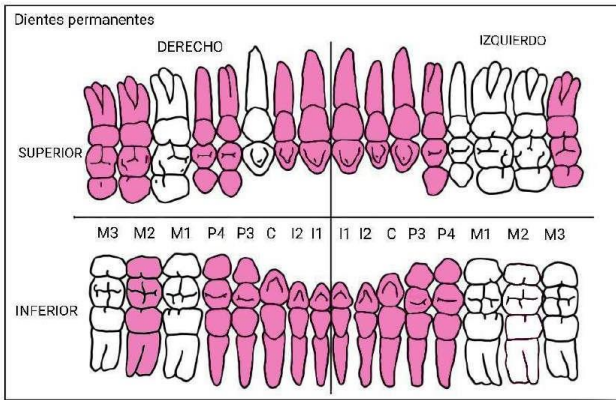
Present Location of Collection \_\_\_\_\_



- Presentes in situ
- Presentes ex situ
- Caries
- Desgaste

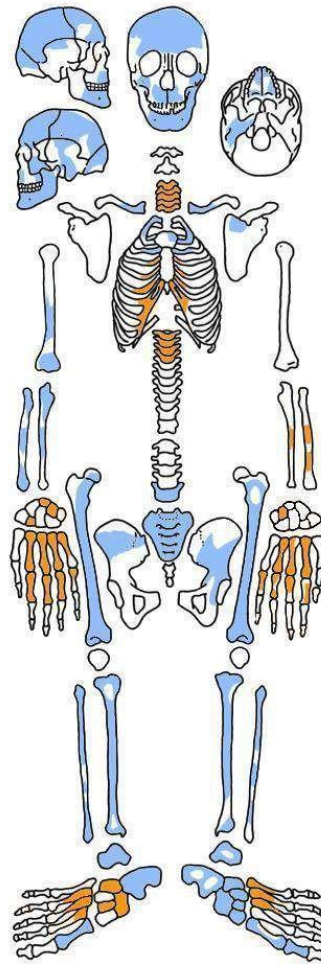
Yacimiento	Soto de Tovilla	U.E	
N° de enterramiento	321	N° de sigla	

Yacimiento	Soto de Tovilla	U.E	
N° de enterramiento	321	N° de sigla	



Leyenda:

- Presente in situ
- Presente ex situ



- Leyenda:
- Presente
  - Hueso sin localización exacta

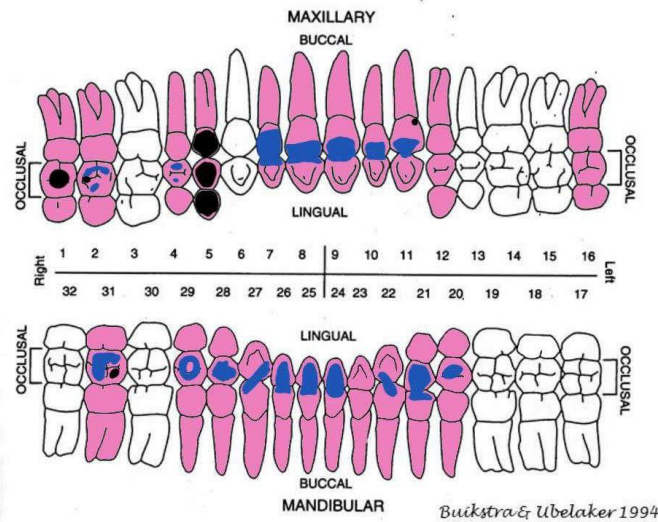
**DENTAL INVENTORY  
VISUAL RECORDING FORM: PERMANENT DENTITION**

Site Name/Number 321 / Observer \_\_\_\_\_

Feature/Burial Number \_\_\_\_\_ / Date \_\_\_\_\_

Burial/Skeleton Number \_\_\_\_\_ /

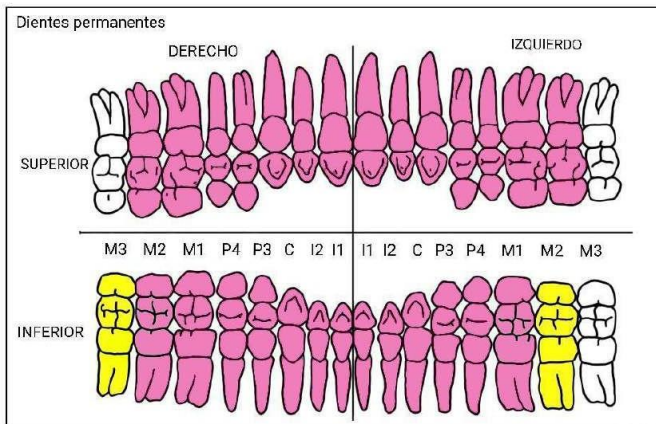
Present Location of Collection \_\_\_\_\_



- Presentes in situ
- Presentes ex situ
- Caries
- Desgaste

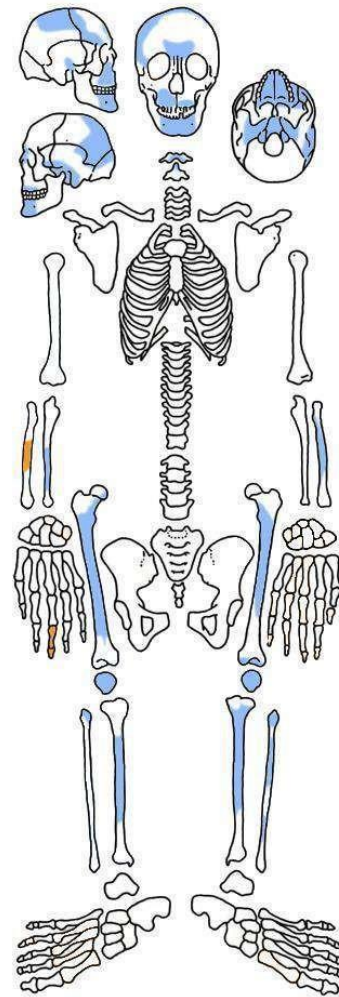
Yacimiento	Soto de Tovilla	U.E	
N° de enterramiento	322	N° de sigla	

Yacimiento	Soto de Tovilla	U.E	
N° de enterramiento	322	N° de sigla	



**Leyenda:**

- Presente in situ
- Presente ex situ



- Leyenda:**
- Presente
  - Hueso sin localización exacta

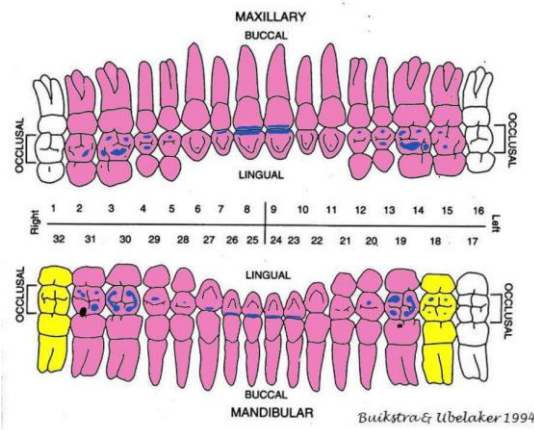
**DENTAL INVENTORY  
VISUAL RECORDING FORM: PERMANENT DENTITION**

Site Name/Number 322 / Observer \_\_\_\_\_

Feature/Burial Number \_\_\_\_\_ / Date \_\_\_\_\_

Burial/Skeleton Number \_\_\_\_\_

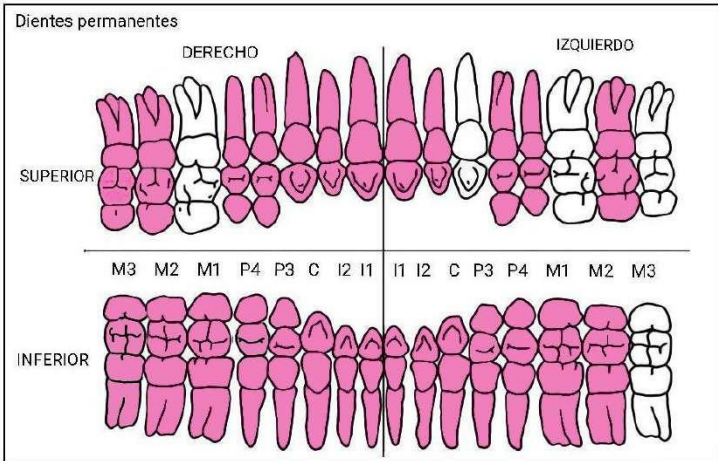
Present Location of Collection \_\_\_\_\_



- Presentes in situ
- Presentes ex situ
- Caries
- Desgaste

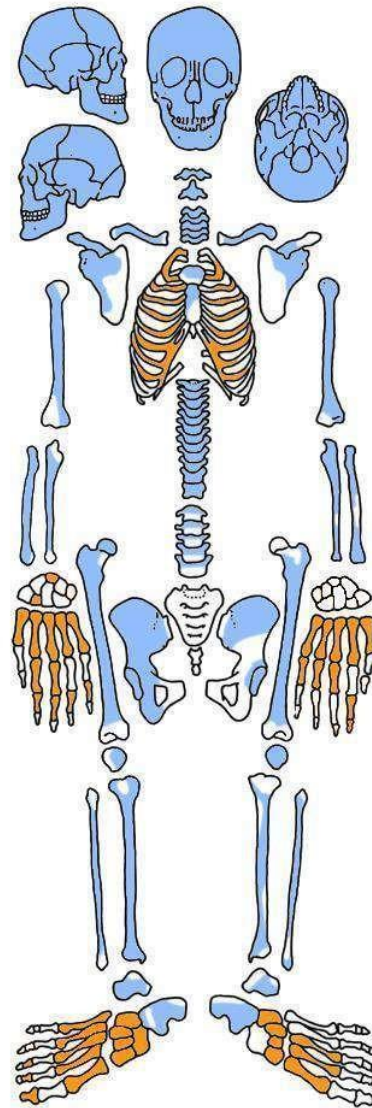
Yacimiento	Soto de Tovilla	U.E	
N° de enterramiento	323	N° de sigla	

Yacimiento	Soto de Tovilla	U.E	
N° de enterramiento	323	N° de sigla	



**Leyenda:**

- Presente in situ
- Presente ex situ



- Leyenda:**
- Presente
  - Hueso sin localización exacta

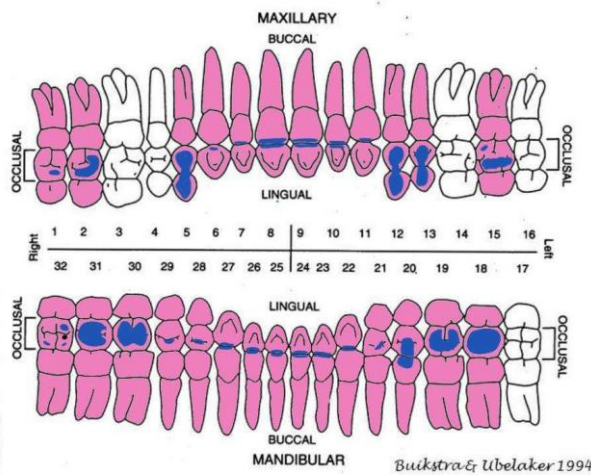
**DENTAL INVENTORY  
VISUAL RECORDING FORM: PERMANENT DENTITION**

Site Name/Number 323 / Observer \_\_\_\_\_

Feature/Burial Number \_\_\_\_\_ / Date \_\_\_\_\_

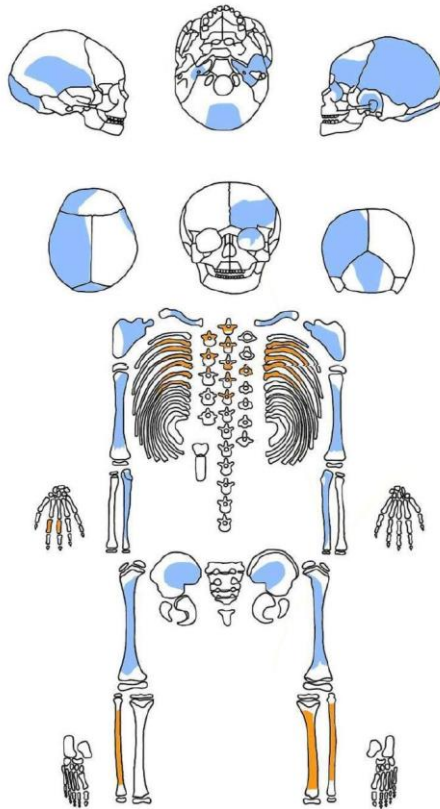
Burial/Skeleton Number \_\_\_\_\_

Present Location of Collection \_\_\_\_\_



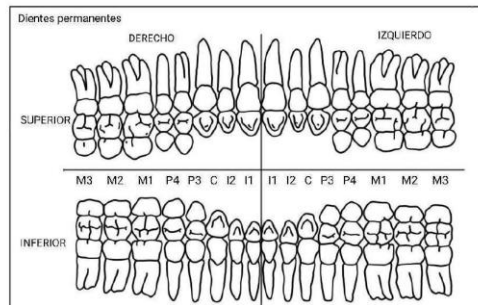
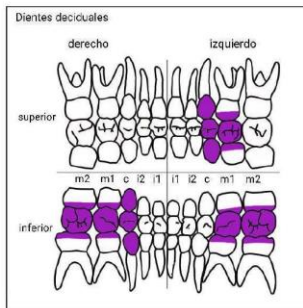
- Presentes in situ
- Presentes ex situ
- Caries
- Desgaste

Yacimiento	Soto de Tovilla	U.E	
N° de yacimiento	324	N° de sigla	



Leyenda:  
 Presente ●  
 Hueso sin localización exacta ●

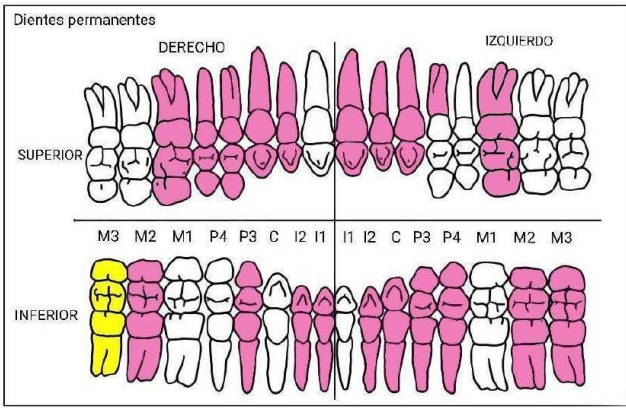
Yacimiento	Soto de Tovilla	U.E	
N° de entieramiento	324	N° de sigla	



Leyenda:  
 ● Presentes in situ  
 ● Presentes ex situ  
 ● Sin erupcionar

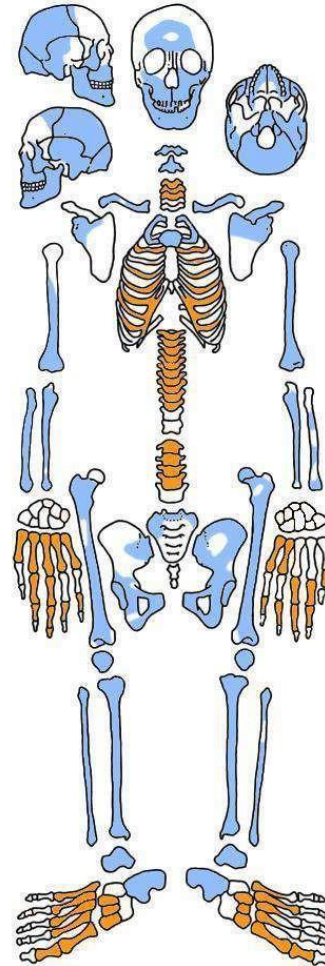
Yacimiento	Soto de Tovilla	U.E	
N° de enterramiento	1108	N° de sigla	

Yacimiento	Soto de Tovilla	U.E	
N° de enterramiento	1108	N° de sigla	



**Legenda:**

- Presente in situ
- Presente ex situ



- Legenda:**
- Presente
  - Hueso sin localización exacta

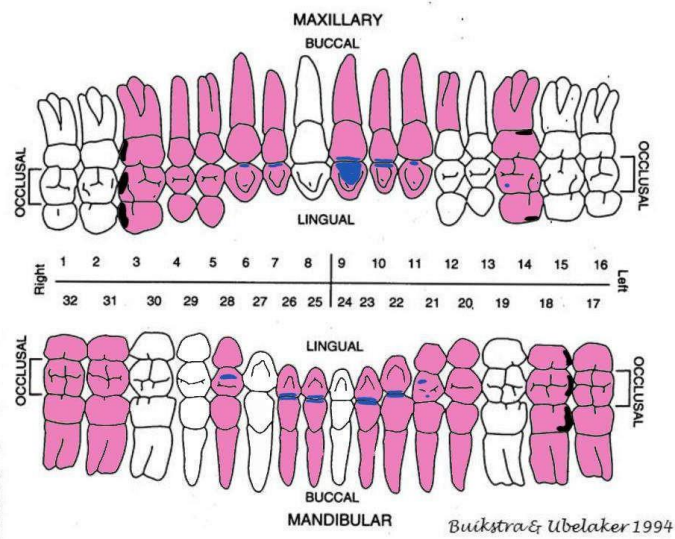
**DENTAL INVENTORY  
VISUAL RECORDING FORM: PERMANENT DENTITION**

Site Name/Number 1108 / \_\_\_\_\_ Observer \_\_\_\_\_

Feature/Burial Number \_\_\_\_\_ / \_\_\_\_\_ Date \_\_\_\_\_

Burial/Skeleton Number \_\_\_\_\_ / \_\_\_\_\_

Present Location of Collection \_\_\_\_\_



- Presentes in situ
- Presentes ex situ
- Caries
- Desgaste